

مطالعه رفتار رئولوژیکی دینامیکی پلی اتیلن پرشده با دوده

Study on the Dynamic Rheological Behavior of Polyethylene Filled with Carbon Black

حسن اسلامی^{۱*}، حسین علی خنکدار سنگدهی^۱، جلیل مرشدیان^۱، سید حسن جعفری^۲
۱- تهران، پژوهشگاه پلیمر و پتروشیمی ایران، پژوهشکده فرایند، گروه پلاستیک، صندوق پستی ۱۱۹۶۵/۱۱۵
۲- تهران، دانشگاه تهران، دانشکده فنی، گروه مهندسی شیمی، صندوق پستی ۱۱۳۶۵/۴۵۶۳
دریافت: ۸/۶/۲، پذیرش: ۸/۴/۴

چکیده

در این پژوهش، رفتار رئولوژیکی دینامیکی پلی اتیلن پرشده با دو نوع دوده در دماهای مختلف بررسی شده است. رفتار ویسکوالاستیک پلیمرها به نوعی بیانگر ساختار داخلی آنهاست. بنابراین، برای تحلیل رفتار رئولوژیکی دینامیکی پلی اتیلن پرشده با دوده از تعدادی پارامترهای ویسکوالاستیک خطی استفاده شده است. از قبیل مدول ذخیره که مربوط به بخش کشسان سیستم است، مدول اتلاف که به بخش گرانزو سیستم ارتباط دارد و ضریب اتلاف که رابطه بین مدول ذخیره و مدول اتلاف است. همچنین، اثر ساختار، اندازه ذرات و مقدار دوده (۲/۵ تا ۴۰ درصد) بر خواص رئولوژیکی نیز بررسی شده است. نتایج نشان می‌دهد که با افزایش درصد دوده، مدول ذخیره و مدول اتلاف افزایش می‌یابد، در حالی که ضریب اتلاف کاهش پیدا می‌کند. اثر دما بر خواص رئولوژیکی پلی اتیلن پرشده با دوده نیز بررسی شده که نتیجه جالب توجهی برای تغییرات ضریب اتلاف با دما مشاهده شده است. بدین ترتیب که با افزایش دما تفاوت کانس مشخصی این ضریب کاهش می‌یابد، ولی پس از آن، ضریب اتلاف افزایش پیدا می‌کند.

واژه‌های کلیدی

پلی اتیلن، دوده، مدول ذخیره،
مدول اتلاف، ضریب اتلاف

مقدمه

الکترونیک (گرم کنندهای خودکار، فیوزها و ابزارهای محافظت کننده جریان زیاد) این نوع پلی اتیلن توجه پژوهشگران و صنعتگران بیشماری را به خود جلب کرده است [۱,۲]. از مزایای افزایش دوده به پلی اتیلن می‌توان پایداری در برابر پرتو UV، بهبود خواص مکانیکی، ایجاد

Key Words

polyethylene,
carbon black,
storage modulus,
loss modulus, loss factor

جدول ۱- مشخصات دوده‌های استفاده شده.

متوسط اندازه ذرات (nm)	BET مساحت سطح، (m ² /g)	محتوی خاکستر (%)	pH مقدار	DBP جذب سطحی، (mL/100g)	نوع دوده
۳۰	۱۰۰	۷/۶	۷/۵	۴۲۰	Printex XE-CB
۲۳	۱۲۵	۰/۴	۸	۱۵۰	Hiblack HI-CB

بوریلیس دانمارک و ضد اکسنده ایرگانوس ۱۰۱۰ از شرکت سیباگایگی بکار رفته است و از نوع دوده مختلف ساخت شرکت دگوسا استفاده شده، که مشخصات آنها در جدول ۱ داده شده است.

دستگاهها

برای مخلوط کردن مواد، مخلوط کن برایندر مدل PL ۲۰۰۰ با سرعت اختلاط ۵۰ rpm بکار گرفته شده است. همچنین، از پرس ۴۰۰ kN ساخت شرکت فونتیون هلند و رئومتر چرخشی باصفحه‌های موازی به قطر ۵۰ mm ساخت (Advanced Rheometric Expansion System) ARES رئومتریک مدل استفاده شده است.

روشها

برای تهیه پلی اتیلن پرشده با دوده، ابتدا پلی اتیلن در دمای ۷۰°C به مدت ۲ تا ۳ min ذوب شده و سپس دوده به آرامی به مذاب حاصل اضافه شده است و مواد به مدت ۱۵ min در مخلوط کن برایندر با سرعت ۵۰ rpm مخلوط شده است. توجه به این نکته ضروری است که دوده حتماً باید به مذاب پلیمر اضافه شود. از مخلوط حاصل به وسیله پرس گرم در دمای ۱۷°C و فشار ۱۰ MPa ورقه‌هایی با ابعاد ۱۰×۱۰×۱/۵ cm³ تهیه شده است. برای بررسی خواص رئولوژیکی از رئومتر چرخشی استفاده شده و ناحیه ویسکوالاستیک خطی نیز برای هر نمونه بدست آمده است. آزمایش‌های رئولوژیکی دینامیکی در دامنه فرکانس ۰/۱ تا ۱۰۰ rad/s و در دمای ۱۵۰، ۱۷۰، ۱۹۰ و ۲۱۰°C انجام شده است.

رنگ و کاهش قیمت محصول نهایی را نام برد. همچنین، با افزایش دوده میزان رسانایی گرمایی و الکتریکی پلی اتیلن تغییر می‌کند. واضح است که مخلوط کردن ذرات جامد پرکننده با پلیمرها تاثیر بسزایی در جریان پذیری مذاب آن پلیمر دارد. بنابراین، مطالعه رفتار رئولوژیکی پلیمرهای پرشده از اهمیت علمی و عملی زیادی برخوردار است. رفتار رئولوژیکی لاستیکهای پرشده با دوده بویژه رفتار رئولوژیکی دینامیکی این نوع سیستمهای در دماهای مختلف توسعه پژوهشگران زیادی بررسی شده است [۳-۵]. رفتار رئولوژیکی سیستمهای پرشده با دوده به ساختار، شکل شناسی، فعالیت در سطح و مقدار دوده بستگی دارد [۳،۴]. در این زمینه مطالعات زیادی روی سیستمهای پلی اتیلن پرشده با دوده برای کاربردهای متنوع در صنایع مختلف انجام گرفته است [۶،۷]. امروزه، استفاده از پلی اتیلن پرشده با دوده به عنوان مواد نیمه رسانا، کاربرد زیادی در صنایع الکترونیک پیدا کرده و پیشرفت‌های چشمگیری در این زمینه بدست آمده است [۸-۱۱]. خواص الکتریکی پلیمرهای پرشده با دوده به ساختار دوده و توزیع مناسب و یکنواخت آن در پلیمر پایه بستگی دارد. بنابراین، خواص الکتریکی پلیمرهای پرشده‌ای که همگن نباشند پایدار نخواهد بود [۱۲] و تمرکز عمیقی بر ساختار پلی اتیلن پرشده با دوده ضروری بنظر می‌رسد. رفتار ویسکوالاستیک پلیمرهای به نوعی بیانگر ساختار داخلی آنهاست و بعضی از اطلاعات درباره ساختار داخلی را می‌توان از مطالعه رفتار رئولوژیکی دینامیکی این نوع سیستمهای بدست آورد [۱۳،۱۴]. از این‌رو در پژوهش حاضر، رفتار رئولوژیکی دینامیکی پلی اتیلن پرشده با دوده مطالعه شده و اثر مقدار و نوع دوده در دماهای مختلف روی این سیستمهای بررسی شده است.

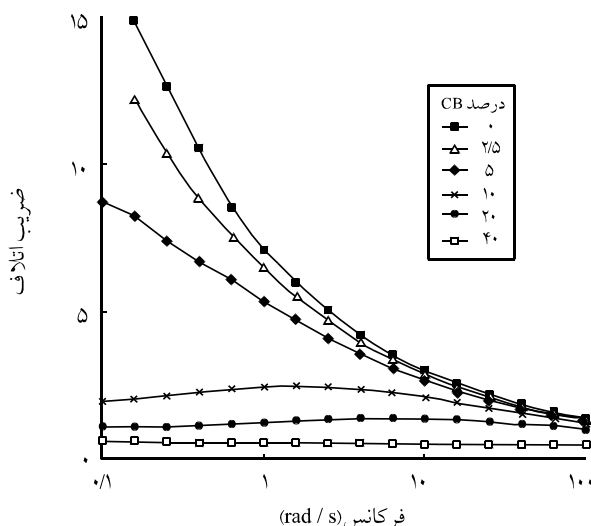
نتایج و بحث

پلی اتیلن سنگین ماده‌ای نیمه بلوری است، بنابراین، مطالعه رفتار رئولوژیکی دینامیکی آن در بالاتر از دمای ذوب امکان پذیر است [۷]. در این پژوهش، رفتار رئولوژیکی پلی اتیلن پرشده با دوده در دماهای مختلف ۱۵۰ تا ۲۱۰°C مطالعه شده است.

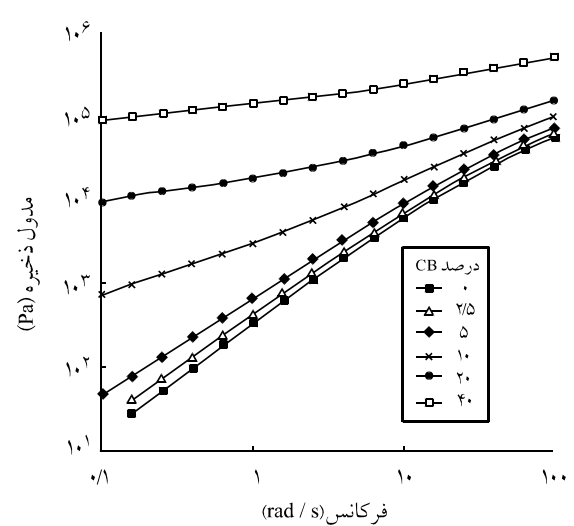
تجربی

مواد

در این پژوهش، پلی اتیلن سنگین (HDPE)، نوع MG7547A با شاخص جریان مذاب ۴ g/10 min و چگالی ۰/۹۵۴ g/cm³ از شرکت



شکل ۳ - تغییرات ضریب اتلاف بر حسب فرکانس زاویه‌ای برای پلی‌اتیلن پرشدۀ با مقادیر مختلف دوده در دمای 170°C .



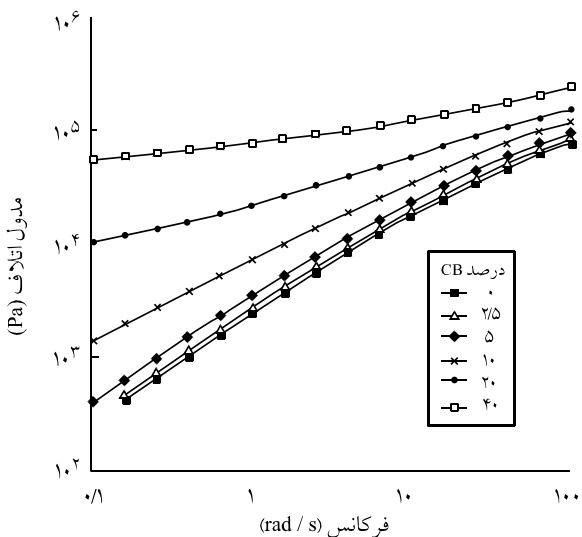
شکل ۱ - تغییرات مدول ذخیره بر حسب فرکانس زاویه‌ای برای پلی‌اتیلن پرشدۀ با مقادیر مختلف دوده در دمای 170°C .

فرکانسهای پایین خواهند داشت. این امر نشان می‌دهد که اگرچه رفتار ویسکوالاستیک سیستم پلی‌اتیلن پرشدۀ با دوده در ابتدا به خواص پلیمر پایه (پلی‌اتیلن) بستگی دارد، ولی ساختار دوده باعث ایجاد شکل ویژه‌ای در خواص کشسانی سیستم می‌شود. از نتایج چنین برمنی آید که در مقادیر کم دوده مشخصات فرایندی پلیمر پایه و با افزایش مقدار دوده ساختار شبکه‌ای آن در فرایند غالب می‌شود. بدین دلیل با افزایش مقدار دوده، مدول ذخیره زیاد می‌شود که این افزایش در فرکانسهای کم بیشتر خواهد بود. همان‌طور که از نمودار لگاریتم مدول ذخیره بر حسب لگاریتم فرکانس زاویه‌ای پیداست، برای پلی‌اتیلن بدون دوده و پلی‌اتیلن پرشدۀ با مقادیر اندر دوده ۲/۵ و ۵ درصد) یک خط راست با شیب نسبتاً زیاد حاصل شده که مربوط به ناحیه انتقال از حالت سیال به حالت بسیار کشسان است. در حالی که در درصدهای زیاد دوده در همان فرکانسهای کم خاصیت کشسانی زیادی حاصل می‌شود، بنابراین، در درصدهای زیاد دوده مدول ذخیره بر حسب فرکانس با سرعت کمتری افزایش می‌یابد.

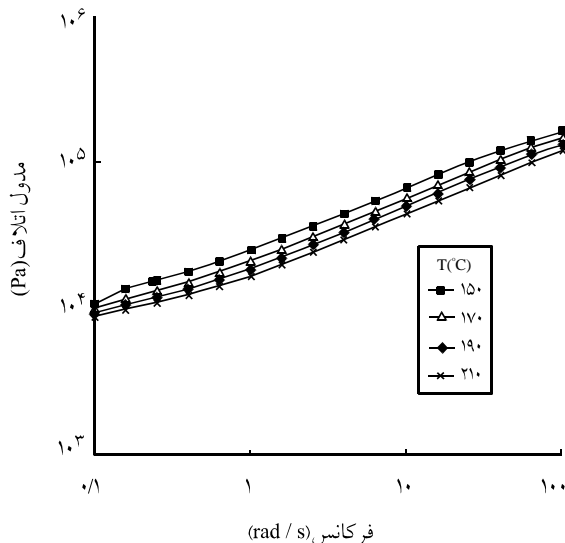
شکل ۳ نمودار تغییرات ضریب اتلاف را بر حسب فرکانس زاویه‌ای برای پلی‌اتیلن پرشدۀ با مقادیر مختلف دوده در دمای 170°C نشان می‌دهد. از نتایج معلوم می‌شود که برای پلی‌اتیلن بدون دوده و پلی‌اتیلن با مقادیر کم دوده با افزایش فرکانس زاویه‌ای ضریب اتلاف کم می‌شود. همچنین، با افزایش مقدار دوده ضریب اتلاف کاهش پیدا می‌کند و این کاهش در فرکانسهای کم بیشتر می‌گردد، بطوری که با زیاد شدن درصد دوده (۱۰ و ۲۰ درصد) با افزایش فرکانس زاویه‌ای

اثر مقدار دوده

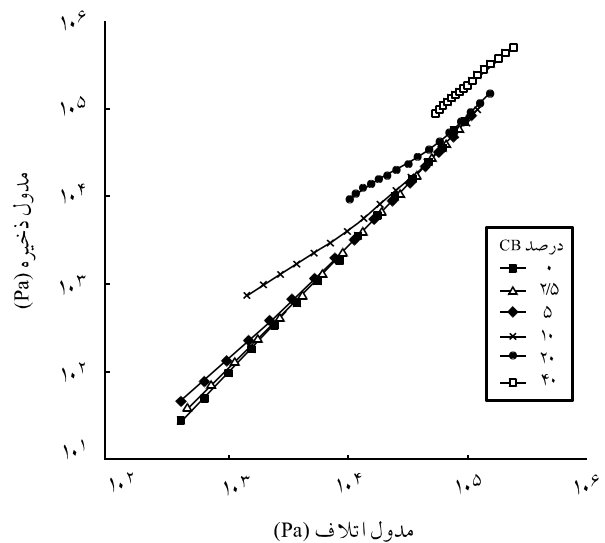
شکل‌های ۱ و ۲ منحنی‌های تغییرات مدولهای ذخیره و اتلاف را بر حسب فرکانس زاویه‌ای (ω) برای پلی‌اتیلن پرشدۀ با مقادیر مختلف دوده در دمای 170°C نشان می‌دهند. همان‌طور که از شکل‌ها مشخص است، مدولهای ذخیره و اتلاف با افزایش مقدار دوده زیاد می‌شود. همچنین، وقتی درصد دوده زیاد می‌شود مدولهای یاد شده افزایش چشمگیری در



شکل ۲ - تغییرات مدول اتلاف بر حسب فرکانس زاویه‌ای برای پلی‌اتیلن پرشدۀ با مقادیر مختلف دوده در دمای 170°C .



شکل ۶ - تغییرات مدول اتلاف بر حسب فرکانس زاویه‌ای برای پلی اتیلن پرشده با ۲۰ درصد دوده در دماهای مختلف.



شکل ۴ - لگاریتم مدول ذخیره بر حسب لگاریتم مدول اتلاف برای پلی اتیلن پرشده با مقادیر مختلف دوده در دمای ۱۷۰°C.

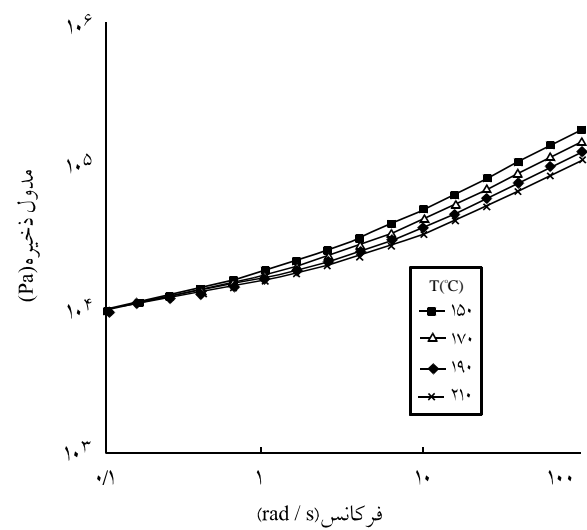
ضریب اتلاف بیانگر رابطه‌ای است میان بخشی از شبکه که قادر به شکسته شدن و تشکیل دوباره است و بخشی که طی تغییر شکلهای دینامیکی بدون تغییر می‌ماند.

شکل ۴ نمودار تغییرات لگاریتم مدول ذخیره بر حسب لگاریتم مدول اتلاف را برای پلی اتیلن پرشده با مقادیر مختلف دوده در دمای ۱۷۰°C نشان می‌دهد. این نوع منحنی‌ها، که به منحنی‌های Cole-Cole معروف‌اند، برای تحلیل خواص رئولوژیکی پلیمرها و آلیاژ‌های پلیمری بسیار مورد استفاده قرار گرفته‌اند [۱۵-۱۹]. برای اکثر آلیاژ‌های پلیمری همگن رابطه خطی بین لگاریتم مدول ذخیره و لگاریتم مدول اتلاف مشاهده می‌شود که شبیه این خط معمولاً کمتر از ۲ است [۷]. همان‌طور که شکل ۴ نشان می‌دهد، برای پلی اتیلن بدون دوده و پلی اتیلن پرشده با مقادیر اندک دوده رابطه‌ای خطی بین لگاریتم مدول ذخیره و لگاریتم مدول اتلاف برقرار است. ولی، با افزایش مقدار دوده این رابطه خطی از بین خواهد رفت. نتایج نشان می‌دهد که در مقادیر زیاد دوده مدول اتلاف بیش از مدول ذخیره افزایش می‌یابد. به بیان دیگر، وقتی درصد دوده بیشتر می‌شود شبیه منحنی لگاریتم مدول ذخیره بر حسب لگاریتم مدول اتلاف کم می‌شود.

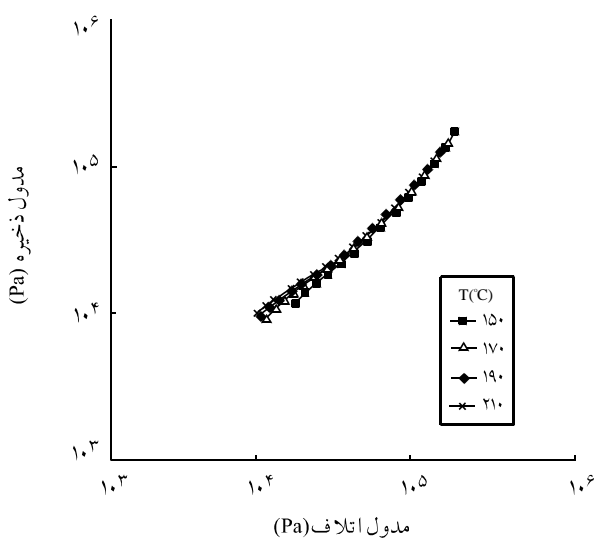
اثر دما

شکل ۵ منحنی تغییرات مدول ذخیره بر حسب فرکانس زاویه‌ای را برای پلی اتیلن پرشده با ۲۰ درصد دوده در دماهای مختلف نشان می‌دهد. همان‌طور که انتظار می‌رود، با افزایش دما تحرک پذیری زنجیرهای پلیمری افزایش می‌یابد، بنابراین مدول ذخیره کاهش پیدا می‌کند که این

ماکسیممی در منحنی ضریب اتلاف بر حسب فرکانس بدست می‌آید. این نقطه جایی است که مقدار مدول ذخیره نسبت به مدول اتلاف دارای کمترین مقدار است و در واقع یک ناحیه انتقال از حالت سیال به حالت کشسان است. ضریب اتلاف، نسبت مدول اتلاف به مدول ذخیره است. مدول اتلاف به شبکه‌های دوده، که طی تغییر شکلهای دینامیکی ثابت می‌مانند، ارتباط دارد و مدول ذخیره نیز به شکسته شدن این شبکه‌ها و تشکیل دوباره شبکه‌های جدید ارتباط می‌یابد [۷]. به بیان ساده‌تر،



شکل ۵ - تغییرات مدول ذخیره بر حسب فرکانس زاویه‌ای برای پلی اتیلن پرشده با ۲۰ درصد دوده در دماهای مختلف.

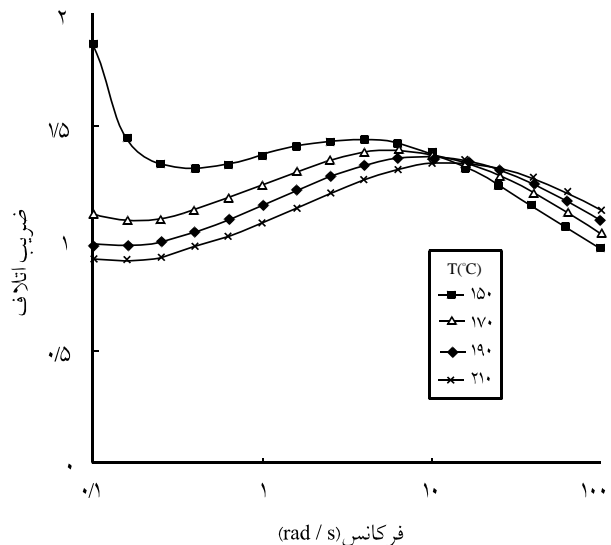


شکل ۸ - لگاریتم مدول ذخیره بر حسب لگاریتم مدول اتلاف برای پلی اتیلن پرشده با ۲۰ درصد دوده در دماهای مختلف.

شکل ۸ منحنی تغییرات لگاریتم مدول ذخیره بر حسب لگاریتم مدول اتلاف را برای پلی اتیلن پرشده با ۲۰ درصد دوده در دماهای مختلف نشان می‌دهد. از این شکل پیداست که با افزایش مدول اتلاف، مدول ذخیره نیز زیاد می‌شود و این آهنگ افزایش در دماهای مختلف یکسان است. بنابراین، تغییرات دما اثر محسوسی روی این دسته از منحنی‌های Cole-Cole ندارد. به عبارتی، تغییرات لگاریتم مدول ذخیره بر حسب لگاریتم مدول اتلاف بیشتر به ساختار داخلی پلیمر پرشده بستگی دارد.

اثر ساختار دوده

شکل ۹ اثر نوع دوده بر مدول ذخیره پلی اتیلن پرشده با ۲۰ درصد دوده را در دمای ۱۷۰°C نشان می‌دهد. مشاهده می‌شود که برای دو نوع مختلف دوده در فرکانس‌های کم مقادیر مدول ذخیره اختلاف بیشتری دارند، در حالی که در فرکانس‌های زیاد این اختلاف کمتر می‌شود. BET مقدار سطح به ازای واحد جرم دوده است که نشان دهنده سطح پوشش دهی آن است. این مقدار بر اساس استاندارد ASTM D ۳۰۳۷ HI-CB معین می‌شود. BET دوده نوع XE-CB از دوده نوع HI-CB بیشتر است. بنابراین، برهم‌کنش بین پلیمر و دوده نوع XE-CB از برهم‌کنش بین پلیمر و گرانروی HI-CB بیشتر است و به همین دلیل مدول ذخیره و گرانروی پلی اتیلن پرشده با دوده نوع XE-CB بیشتر است. مقدار DBP دوده نیز نشان دهنده میزان جذب دی بوتیل فتالات (حجمی) روی ۱۰۰ g بوده و معرف ساختار آن است. DBP دوده XE-CB نسبت به دوده HI-CB بیشتر است، یعنی دوده XE-CB دارای ساختار

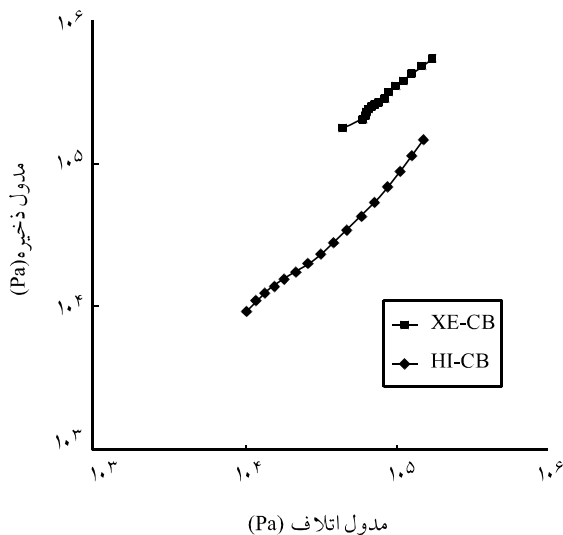


شکل ۷ - تغییرات ضریب اتلاف بر حسب فرکانس زاویه‌ای برای پلی اتیلن پرشده با ۲۰ درصد دوده در دماهای مختلف.

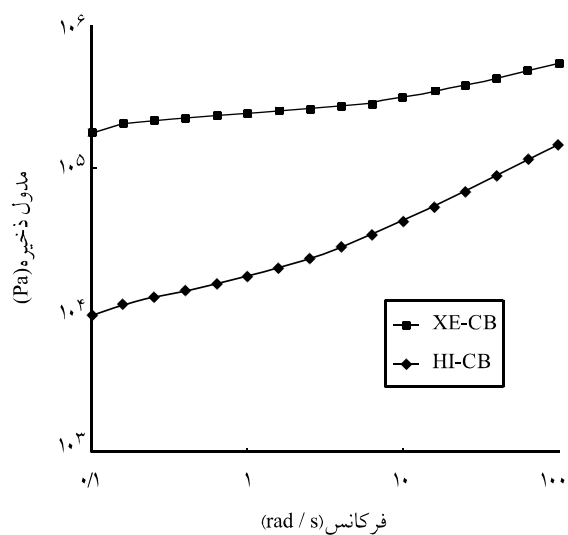
کاهش در فرکانس‌های زیاد بیشتر خواهد بود. چنین رفتاری برای درصدهای مختلف دوده مشاهده شده که برای اختصار منحنی‌های مربوط به آنها گزارش نشده است.

شکل ۶ اثر تغییرات دما بر مدول اتلاف را برای پلی اتیلن پرشده با ۲۰ درصد دوده نشان می‌دهد. همان‌طور که از شکل پیداست، مدول اتلاف با افزایش دما کاهش می‌یابد و این کاهش در فرکانس‌های کم در مقایسه با مدول ذخیره مشهودتر است. بنابراین، می‌توان گفت که مدول اتلاف نسبت به مدول ذخیره در فرکانس‌های کم به دما حساس‌تر است.

شکل ۷ منحنی تغییرات ضریب اتلاف بر حسب فرکانس زاویه‌ای را برای پلی اتیلن پرشده با ۲۰ درصد دوده در دماهای مختلف نشان می‌دهد. از نتایج معلوم می‌شود که با افزایش دما تا فرکانسی مشخص، که در اینجا فرکانس بحرانی خوانده می‌شود، ضریب اتلاف کاهش می‌یابد، ولی پس از این فرکانس رفتار عکس می‌شود. به عبارت دیگر، در فرکانس بالاتر از فرکانس بحرانی با افزایش دما بخش گرانرو بر بخش کشسان غالب می‌گردد که این امر به دلیل تحرک پذیری زیاد زنجیرهای پلیمری و گرانروی کم آنها در دمای بالاست. ولی، رفتار معکوس در فرکانسی کمتر از فرکانس بحرانی را شاید بتوان به نحوه تجمع ذرات دوده در داخل پلیمر پایه نسبت داد. زیرا، در فرکانس‌های کم مدول ذخیره تغییرات محسوسی با دما نخواهد داشت. به عبارتی، بخش کشسان سیستم در فرکانس‌های کم در اثر تغییرات دما تغییر نمی‌کند، ولی مدول اتلاف که معرف بخش گرانرو سیستم است، با افزایش دما کاهش می‌یابد. بنابراین، در فرکانس‌های کم با افزایش دما، سهم بخش گرانرو کمتر از سهم بخش کشسان است و در نتیجه ضریب اتلاف کاهش می‌یابد.



شکل ۱۱ - لگاریتم مدول ذخیره بر حسب لگاریتم مدول اتلاف برای پلی اتیلن پر شده با ۲۰ درصد از انواع مختلف دوده در دمای ۱۷۰°C.

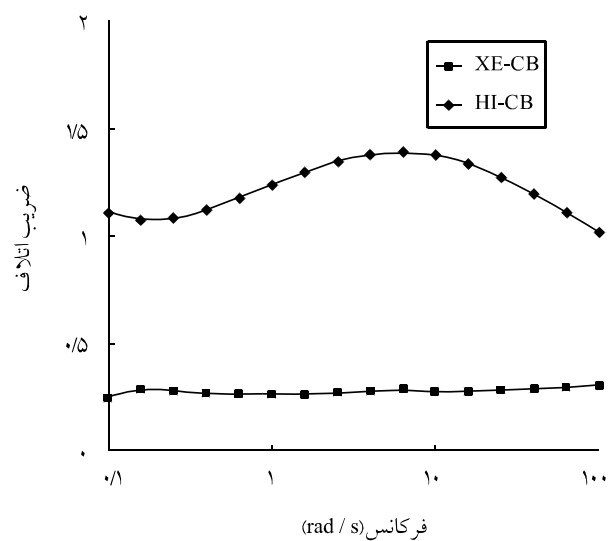


شکل ۹ - اثر انواع مختلف دوده بر مدول ذخیره برای پلی اتیلن پر شده با ۲۰ درصد دوده در دمای ۱۷۰°C.

رامی توان اختلاف زیاد بین BET و DBP دو نوع دوده داشت که اثر اندازه ذرات را تحت تأثیر قرار داده است. باید توجه داشت که مقادیر زیاد BET و DBP دوده XE-CB رامی توان به تخلخل زیاد ذرات دوده XE-CB نسبت داد [۲۰].

شکل ۱۰ اثر نوع دوده را بر ضریب اتلاف برای پلی اتیلن پر شده با ۲۰ درصد دوده در دمای ۱۷۰°C نشان می‌دهد. همان‌طور که انتظار می‌رود، برای پلی اتیلن پر شده با دوده XE-CB مقدار ضریب اتلاف کمتر است، زیرا در مقادیر یکسان دوده، نوع XE-CB اثر بیشتری بر خواص کشسانی سیستم دارد که در نتیجه ضریب اتلاف آن کمتر می‌شود. البته، شاید بتوان این اختلاف زیاد بین ضرایب اتلاف را به اختلاف زیاد بین ساختارهای دو نوع دوده نیز نسبت داد. به عبارت دیگر، وقتی از دوده نوع XE-CB استفاده می‌شود، چون سطح مخصوص آن زیاد است در شرایط یکسان، توزیع این دوده در مذاب پلی اتیلن بهتر است. بنابراین، خواص کشسانی آن بر خواص گرانرو غالب شده و در نتیجه مدول ذخیره آن از مدول اتلاف بیشتر می‌شود. در حالی که وقتی از دوده HI-CB استفاده می‌شود، به دلیل کمتر بودن سطح مخصوص، توزیع آن در پلی اتیلن مذاب مناسب نبوده و خواص گرانرو آن بر خواص کشسانی غالب شده که در نتیجه مدول ذخیره از مدول اتلاف کمتر می‌شود. بنابراین، اختلاف زیادی در منحنی‌های ضرایب اتلاف حاصل می‌گردد. توجه به این نکته ضروری است که برای پلی اتیلن پر شده با دوده نوع XE-CB ضریب اتلاف کوچکتر از یک است، در حالی که برای پلی اتیلن پر شده با دوده نوع HI-CB ضریب اتلاف بزرگتر از یک است.

بهتری است و اثر بیشتری بر خواص کشسانی سیستم دارد. به بیان ساده‌تر، هر چقدر BET و DBP دوده بیشتر باشد، خواص کشسانی سیستم پلی اتیلن پر شده با دوده تقویت می‌شود و از این رو مدول ذخیره افزایش می‌یابد. همان‌طور که از جدول ۱ پیداست مقدار متوسط اندازه ذرات دوده XE-CB بزرگتر از مقدار آن برای دوده HI-CB است و انتظار می‌رود که میزان توزیع دوده HI-CB در پلی اتیلن بهتر از دوده XE-CB باشد، در حالی که رفتار عکس مشاهده می‌شود. علت این امر



شکل ۱۰ - اثر انواع مختلف دوده بر ضریب اتلاف برای پلی اتیلن پر شده با ۲۰ درصد دوده در دمای ۱۷۰°C.

مدولهای ذخیره و اتلاف افزایش و ضریب اتلاف کاهش می‌یابد. برای درصدهای زیاد دوده ماکسیممی در منحنی ضریب اتلاف برحسب فرکانس زاویه‌ای دیده می‌شود. منحنی لگاریتم مدول ذخیره برحسب لگاریتم مدول اتلاف برای پلی اتیلن بدون دوده و پلی اتیلن پرشده با مقادیر اندک دوده خطی است، که شیب این خط کمتر از دو است. ولی، با افزایش مقدار دوده این حالت خطی از بین می‌رود. اثر دما بر رفتار رئولوژیکی پلی اتیلن پرشده با دوده نیز بررسی شده و نتایج نشان می‌دهد که با افزایش دما هر دو مدول ذخیره و اتلاف کاهش می‌یابد و این کاهش در مدول ذخیره در فرکانس‌های زیاد بیشتر خواهد بود. همچنین، با تغییر دما رفتار جالبی برای ضریب اتلاف مشاهده می‌شود، بدین معنی که با افزایش دما تا فرکانسی مشخص، ضریب اتلاف کاهش و پس از آن افزایش می‌یابد. مطالعه اثر نوع دوده بر رفتار رئولوژیکی پلی اتیلن پرشده با دوده نشان می‌دهد که دوده با ساختار بهتر و میزان پوشش دهی سطحی بیشتر اثر زیادتری بر خواص کشسانی سیستمهای پرشده پلیمری خواهد داشت.

شكل ۱۱ منحنی تغییرات لگاریتم مدول ذخیره بر حسب لگاریتم دوده اتلاف را برای پلی اتیلن پرشده با ۲۰ درصد از دو نوع مختلف دوده در دمای ۱۷۰°C نشان می‌دهد. همان‌طور که انتظار می‌رود منحنی پلی اتیلن پرشده با دوده XE-CB بالاتر از منحنی پلی اتیلن پرشده با دوده HI-CB است، زیرا دوده XE-CB دارای ساختار بهتری است. بنابراین، در مقدار یکسان مدول اتلاف، مدول ذخیره پلی اتیلن شامل XE-CB بیشتر از مدول ذخیره پلی اتیلن شامل دوده HI-CB است. یعنی هر قدر ساختار دوده بهتر باشد، خواص کشسانی بهتر می‌شود، بنابراین مدول ذخیره که مربوط به خواص کشسانی سیستم است تقویت می‌گردد.

نتیجه گیری

در این پژوهش، رفتار رئولوژیکی پلی اتیلن سنگین پرشده با مقادیر و انواع مختلف دوده بررسی و مشاهده شده است که با افزایش مقدار دوده

مراجع

1. Blythe A.R., *Electrical Properties of Polymers*, Cambridge University, London, 1-14, 1979.
2. Appello M., Characterization of Dispersion of Carbon Black in High Density Polyethylene Using Dielectric Measurements, *Plast. Rubber Comp.*, **29**, 207-211, 2000.
3. Choi S.S, Nah Ch., Lee S.G. and Joo Ch.W., Effect of Filler-filler Interaction on the Rheological Behavior of Natural Rubber Compounds Filled with Both Carbon Black and Silica, *Polym. Int.*, **52**, 23-28, 2003.
4. Roland C.M., Dynamic Mechanical Behavior of Filled Rubber at Small Strains, *J. Rheol.*, **34**, 25-34, 1990.
5. Masuda T., Kitamura M. and Onogi S., Rheology of Two-phase System Composed of Polystyrene and Polybutadiene. IV. Rubbery Plateau Modulus of Composite Systems of Polyethylene-Polybutadiene Particles, *J. Rheol.*, **25**, 453-458, 1981.
6. Zhang J.F., Zheng Q., Yang Y.Q. and Yi X.S., High-Density Polyethylene/Carbon Black Conductive Composites. I. Effect of CB Structure Modification on Its Resistivity-Temperature Behavior, *J. Appl. Polym. Sci.*, **83**, 3112-3116, 2002.
7. Zhang J.F. and Yi X.S., Dynamic Rheological Behavior of High Density Polyethylene Filled with Carbon Black, *J. Appl. Polym. Sci.*, **86**, 3527-3531, 2002.
8. Eslami H., Morshedian J. and Khonakdar H.A., Studies on the PTC Effect of Overcurrent Protectors Devices, *Proceeding of 6th Iranian Seminar on Polymer Science and Technology*, 244, Tehran, Iran, 12-15 May, 2003.
9. Hou Y.H., Zhang M.Q. and Rong M.Z., Carbon Black-filled Polyolefins as Positive Temperature Coefficient Materials: The Effect of *In situ* Grafting during Melt Compounding, *J. Polym. Sci., Polym. Phys. Ed.*, **41**, 127-134, 2003.
10. Yi X.S., Wu G. and Ma D., Property Balancing for Polyethylene-based Carbon Black-filled Conductive Composites, *J. Appl. Polym. Sci.*, **67**, 131-138, 1998.
11. Yi X.S., Zhang J.F., Zheng Q. and Pan Y., Influence of Irradiation Conditions on the Electrical Behaviour of Polyethylene-carbon Black Conductive Composites, *J. Appl. Polym. Sci.*, **77**, 494-499, 2000.
12. Yacobowicz J. and Narkis M., Electrical and Dielectric Properties of Segregated Carbon Black-polyethylene Systems, *Polym. Eng. Sci.*, **30**, 459-468, 1990.
13. *Polymer Blends and Alloys*, Folkes M.J. and Hope P.S. (Eds.), Chapman and Hall, 75-101, 1993.
14. Takahashi M., Li L. and Masuda T., Nonlinear Viscoelasticity of ABS Polymers in the Molten State, *J. Rheol.*, **33**, 709-723, 1989.
15. Harrell E. R. and Nakajima N., Modified Cole-Cole Plot Based on Viscoelastic Properties for Characterizing Molecular Architecture of Elastomers, *J. Appl. Polym. Sci.*, **29**, 995-1010, 1984.
16. Kwag H., Rana D., Cho K., Rhee J., Woo T., Lee B.H. and Choe

- S., Binary Blends of Metallocene Polyethylene with Conventional Polyolefins : Rheological and Morphological Properties, *Polym. Eng. Sci.*, **40**, 1672-1681, 2000.
17. Guimaraes M.J.O.C., Coutinho F.M.B., Rocha M.C.G., Farah M. and Bretas R.E.S., Rheological and Morphological Properties of High Density Polyethylene and Poly(ethylene-octane) Blends, *J. Appl. Polym. Sci.*, **86**, 2240-2246, 2002.
18. Shumsky V.F., Getmanchuk I.P., Davydenko V.V., Lipatov Y.S., Cassagnau Ph., Boiteux G. and Melis F., Viscoelastic Behavior of Chlorinated Polyethylene/Poly(ethylene-co-vinyl acetate) Blends in the Melt State, *J. Appl. Polym. Sci.*, **88**, 1911-1918, 2003.
19. Honerkamp J. and Weese J., Determination of the Relaxation Spectrum by a Regularization Method, *Macromolecules*, **22**, 4372-4377, 1989.
20. Bigg D.M., An Investigation of the Effect of Carbon Black Structure, Polymer Morphology, and Processing History on the Electrical Conductivity of Carbon Black Filled Thermoplastics, *J. Rheol.*, **28**, 501-516, 1984.